Modélisation et implémentation de parallélisme implicite pour les simulations scientifiques basées sur des maillages

Soutenance de thèse

Hélène Coullon

Thèse dirigée par **Sébastien Limet**, professeur à l'Université d'Orléans Convention CIFRE entre **Géo-Hyd** Antea group, et le LIFO

helene.coullon@univ-orleans.fr

29 septembre 2014





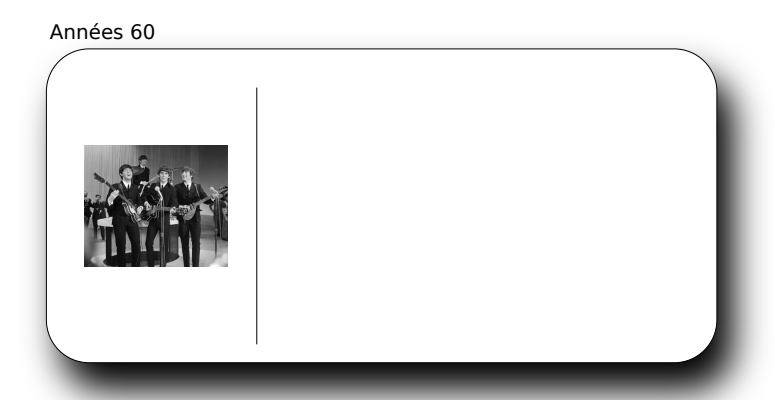




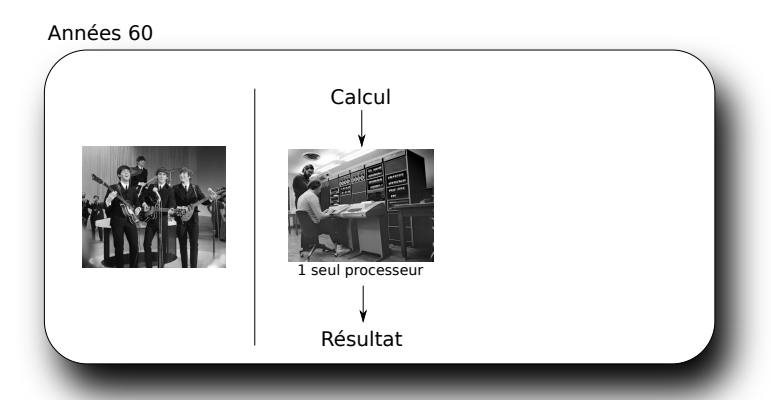
Le parallélisme?



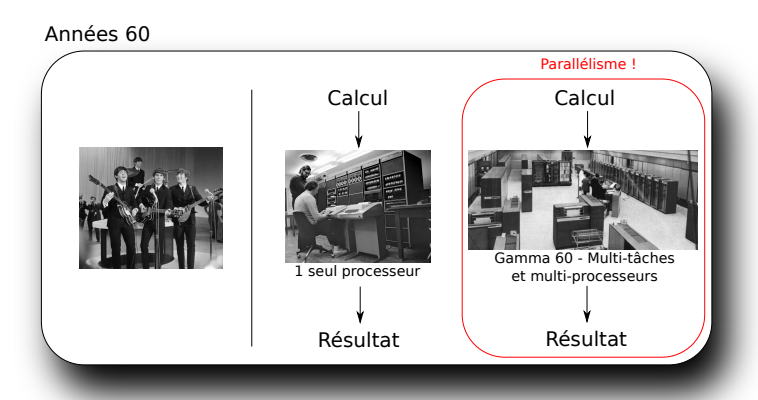
Ma thèse ne porte pas sur un réglage automobile!



Obladi Oblada 🎝

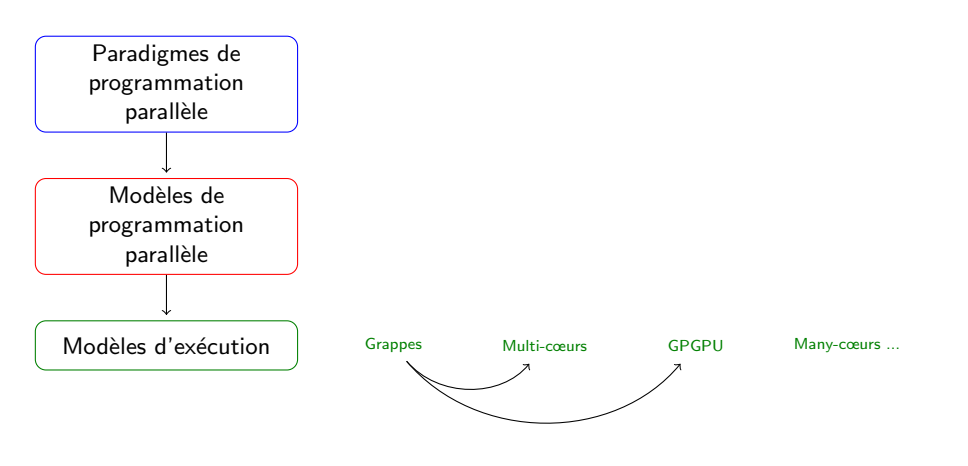


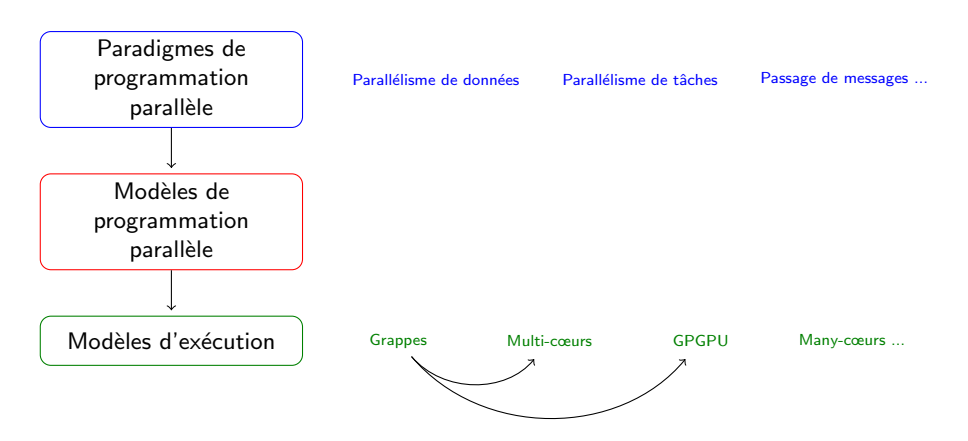
1 processeur & plus de puissance ightarrow attente & puissance limitée

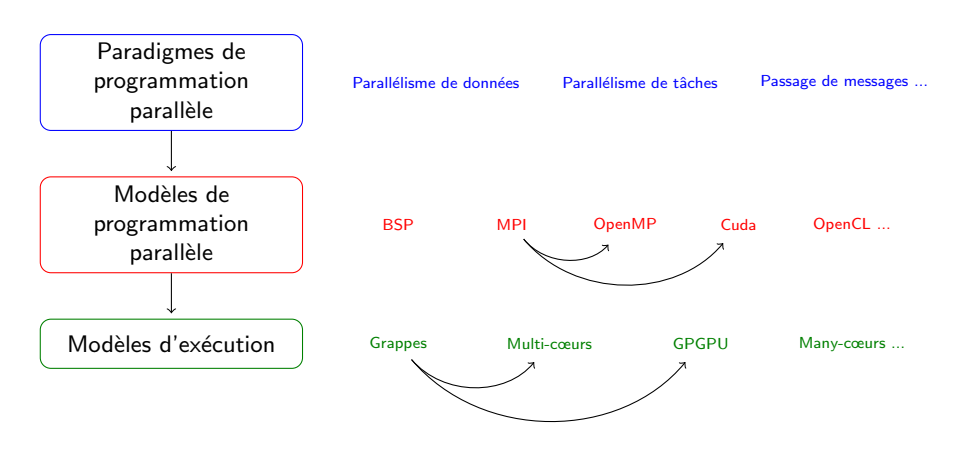


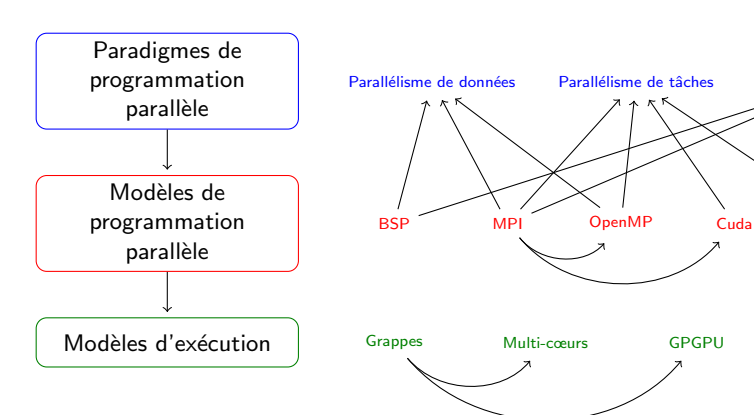
n processeurs & plus de puissance ightarrow pas d'attente & puissance moins limitée

3 / 44





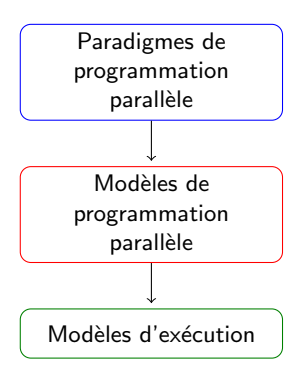


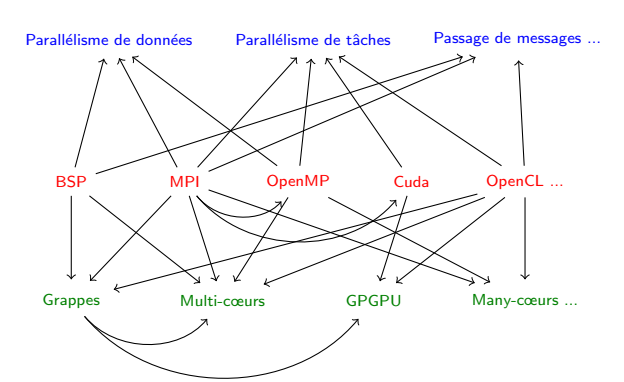


Passage de messages ...

OpenCL ...

Many-coeurs ...



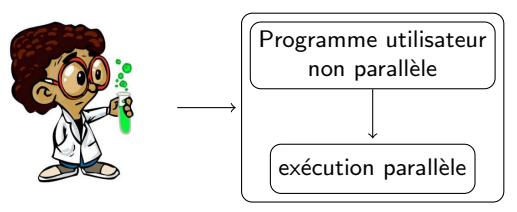


Domaine très complexe!

Le parallélisme implicite

Le parallélisme implicite

Proposer des solutions de programmation où le parallélisme est totalement implicite pour l'utilisateur

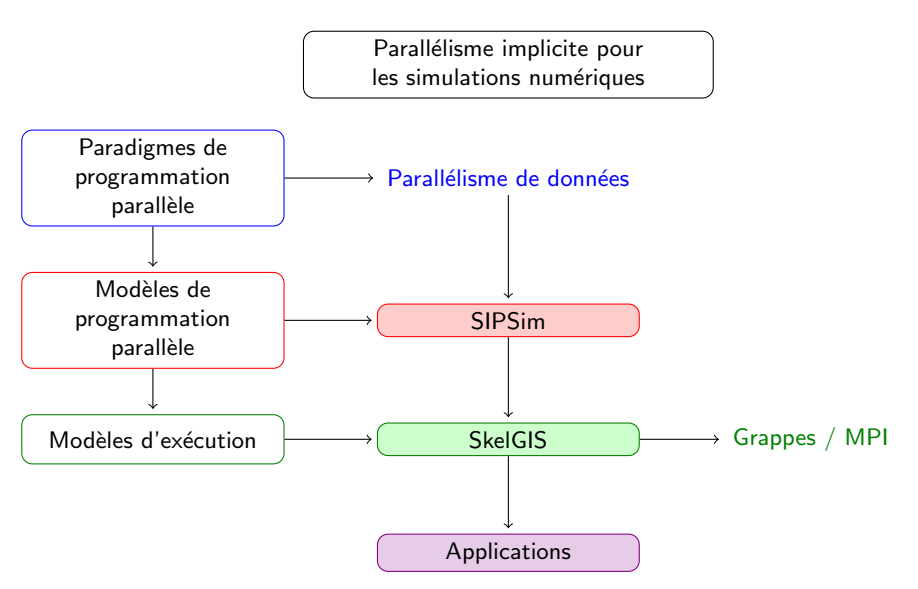


Modèle de programmation parallèle implicite

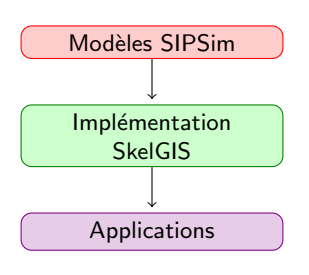
Modèles de programmation parallèle implicite :

- Conteneurs parallèles
- Patrons
- Solutions de domaine spécifiques

Travail présenté



Sommaire

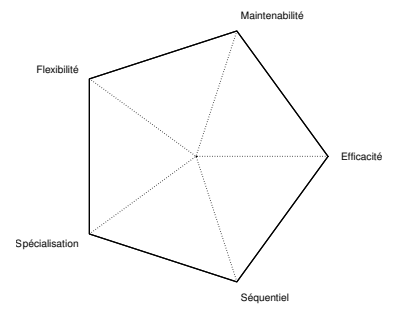


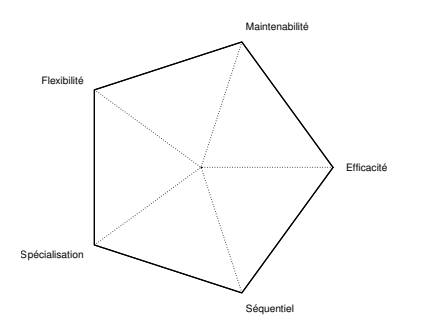
- Positionnement du travail
- 2 Simulations numériques et modèle SIPSim
- Implémentation : SkelGIS
- 4 Applications et résultats
- 6 Conclusion et perspectives

Positionnement

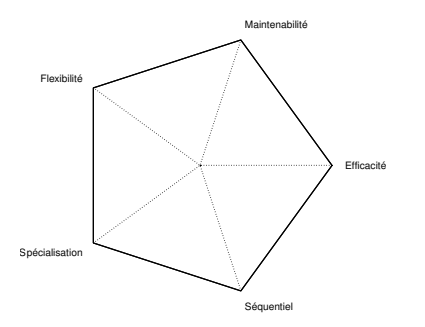
Positionnement



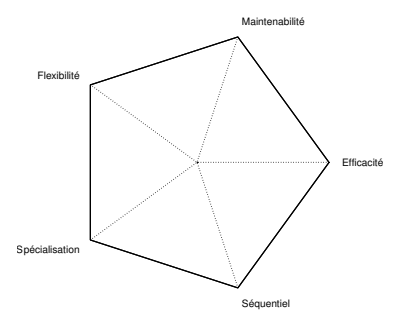




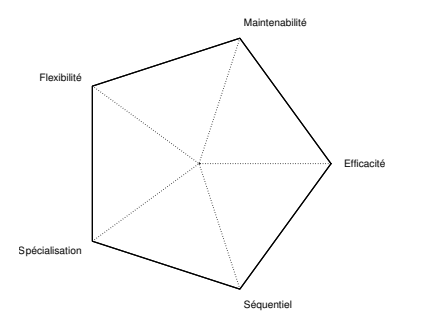
Efficacité du programme obtenu



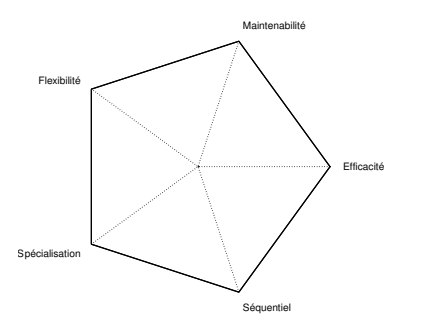
- Efficacité du programme obtenu
- Reste-t-on proche d'un programme séquentiel?



- Efficacité du programme obtenu
- Reste-t-on proche d'un programme séquentiel?
- La solution est-elle **spécifique** à un domaine?



- Efficacité du programme obtenu
- Reste-t-on proche d'un programme séquentiel?
- La solution est-elle spécifique à un domaine?
- Le code est-il flexible (cas non-standards...)



- Efficacité du programme obtenu
- Reste-t-on proche d'un programme séquentiel?
- La solution est-elle spécifique à un domaine?
- Le code est-il flexible (cas non-standards...)
- La solution est-elle facile à maintenir?

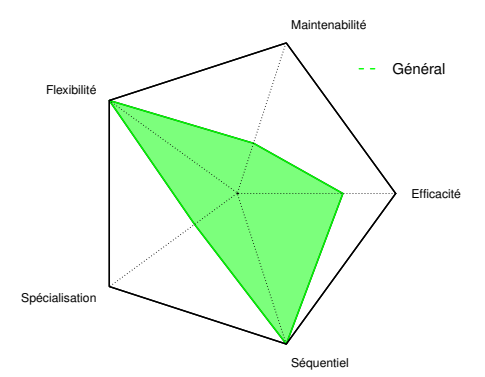
Solutions générales à conteneurs parallèles

Ces solutions proposent une bibliothèque de conteneurs distribués, sur lesquels appliquer des algorithmes, et un ensemble d'outils pour les manipuler.

Liens entre les paramètres

flexibilité ∧ séquentiel

Exemple: STL parallèle



Solutions à patrons

Ces solutions proposent une programmation fonctionnelle où les fonctions représentent des paradigmes de parallélisation automatiquement mis en place.

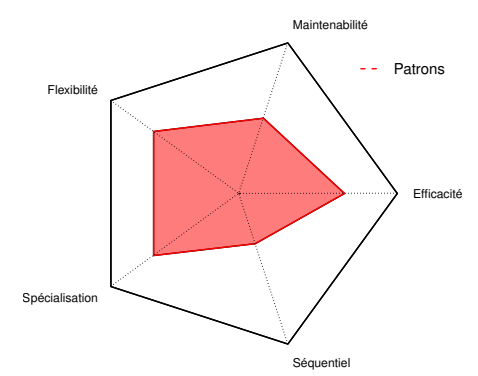
Liens entre les paramètres

- flexibilité ∧ séquentiel
- spécialisation ∧ maintenabilité

Blocages entre les paramètres

- séquentiel \oplus spécialisation
- flexibilité \oplus spécialisation

Exemple: SkeTo



Solutions de domaine spécifique

Solutions très spécialisées, conçues pour un domaine précis.

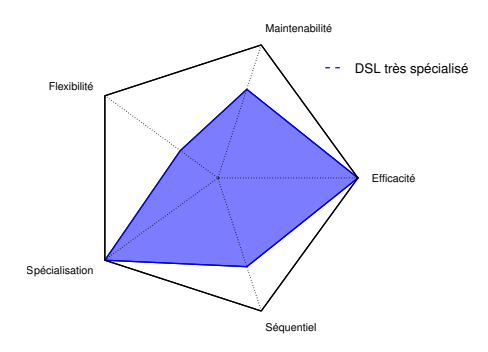
Liens entre les paramètres

- flexibilité ∧ séquentiel
- spécialisation ∧ maintenabilité
- spécialisation ∧ efficacité

Blocages entre les paramètres

- séquentiel
 ⊕ spécialisation
- flexibilité \oplus spécialisation

Exemples: ZPL, PETSc



Solutions de domaine spécifique

Solutions très spécialisées, conçues pour un domaine précis.

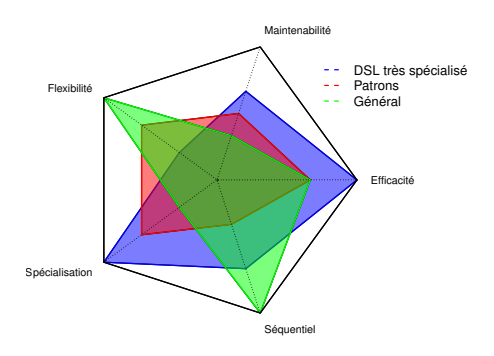
Liens entre les paramètres

- flexibilité ∧ séquentiel
- spécialisation ∧ maintenabilité
- spécialisation ∧ efficacité

Blocages entre les paramètres

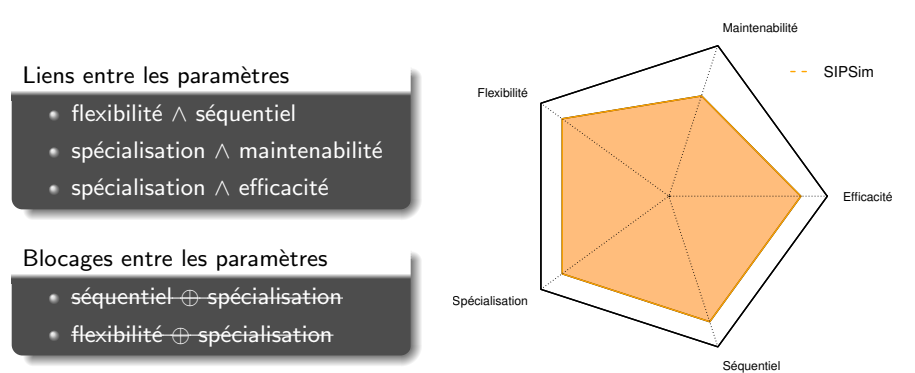
- séquentiel
 ⊕ spécialisation
- flexibilité
 ⊕ spécialisation

Exemples: ZPL, PETSc



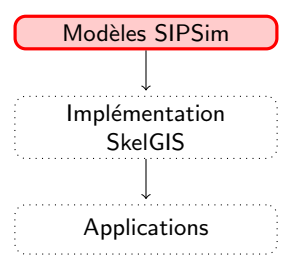
Structured Implicit Parallelism for scientific SIMulations

SIPSim est un modèle de parallélisme implicite pour le domaine des simulations numériques basées sur les maillages.

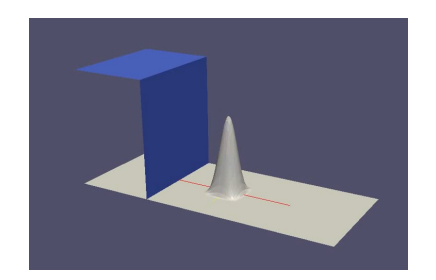


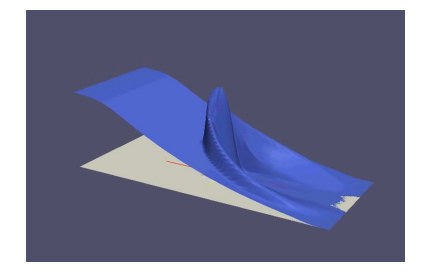
Son implémentation est libre, sous forme de bibliothèque, de framework ou encore de DSL etc., et peut être envisagée pour plusieurs types de modèles d'exécution.

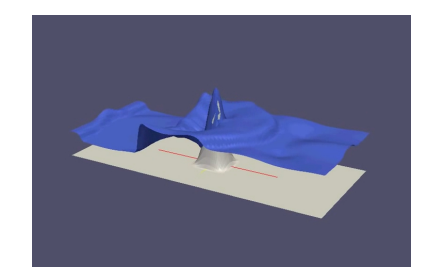
Simulations numériques et modèle SIPSim

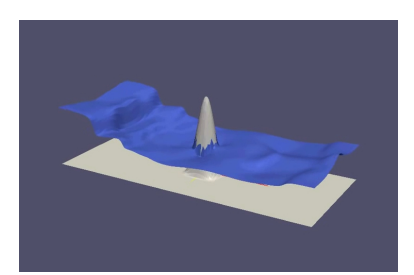


Simulations numériques

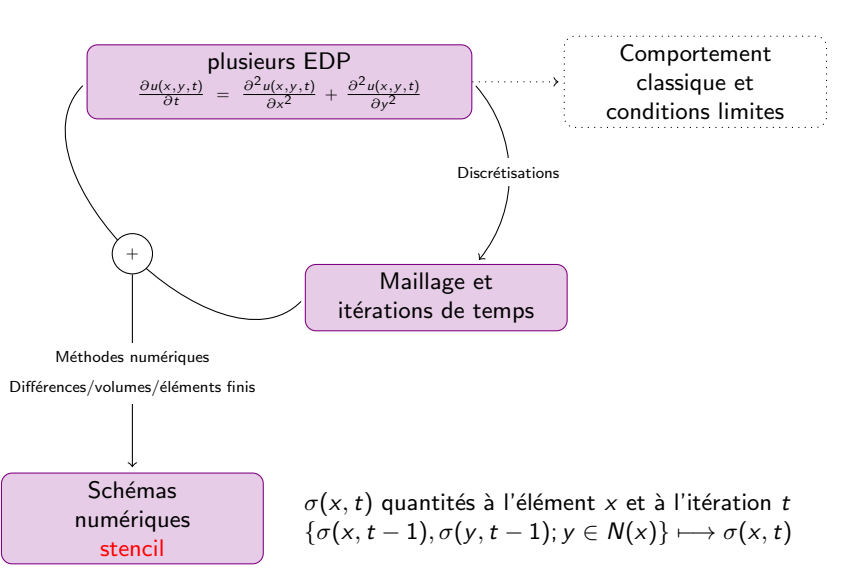








Simulations numériques



Programme séquentiel

```
Création du maillage \mu
Création des quantités à simuler appliquées sur \mu
Initialisation des quantités et des paramètres
Définition du pas de temps : t
Définition du temps maximal : tmax
tant que t < tmax faire
   pour chaque élément de la bordure physique faire
       Calcul des stencils des conditions limites
    fin
   pour chaque x \in \mu faire
       Calcul des stencils des éléments du maillage
    fin
   t = t + 1
fin
```

Parallélisme de données

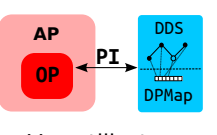
```
Création du maillage \mu
Partitionnement du maillage \mu = \{\mu_0, \mu_1, \dots \mu_{p-1}\}
Création des quantités à simuler appliquées sur \mu
Initialisation des quantités et des paramètres
Définition du pas de temps, commun à tous les processeurs : t
Définition du temps maximal, commun à tous les processeurs : tmax
tant que t < tmax faire
   Communication/accès du voisinage stencil N entre les processeurs
   pour chaque élément de la bordure physique faire
       Calcul des stencils des conditions limites avec N
   fin
   pour chaque x \in \mu_i faire
       Calcul des stencils des éléments du maillage avec N
   fin
   t = t + 1
fin
```

19 / 44

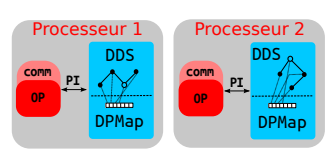
Le modèle SIPSim

5 concepts SIPSim pour cacher les lignes rouges

- Structure de données distribuée (DDS)
- Application de propriétés distribuées (DPMap)
- Applicateurs et opérations (AP, OP)
- Interfaces pour écrire les opérations (PI)
 - itérateurs
 - accesseurs aux données d'un itérateur
 - acesseurs aux données voisines d'un itérateur

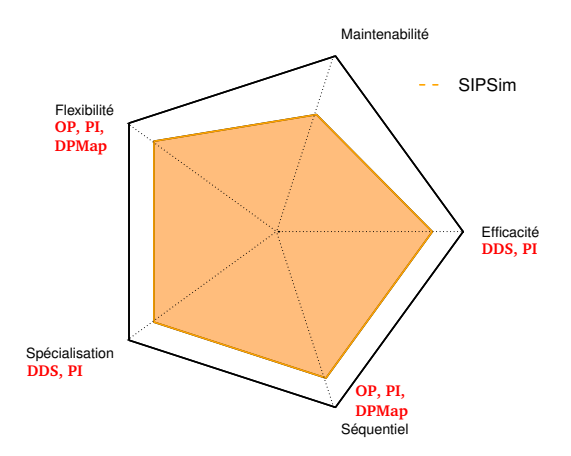


Vue utilisateur



Vue réelle d'un programme SIPSim

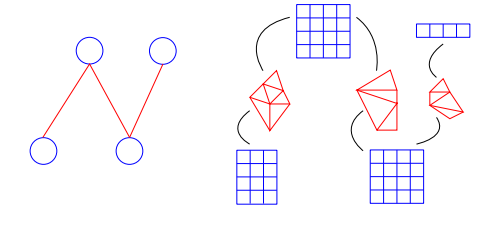
Le modèle SIPSim



Extension du modèle à d'autres simulations?

Simulation sur un réseau

Simulation de deux phénomènes physiques reliés par un réseau



Exemples : simulation sur les réseaux pétrolifères, le traffic routier, le réseau sanguin etc.

- Potentiellement deux discrétisations différentes
- Deux ensembles d'EDP différents
- Des schémas numériques différents



Parallélisme de données

Création du réseau net

```
Partitionnement du réseau net = \{net_0, net_1, \dots net_{p-1}\}
Création des quantités à simuler appliquées sur net
Initialisation des guantités et des paramètres
Définition du pas de temps, commun à tous les processeurs : t
Définition du temps maximal, commun à tous les processeurs : tmax
tant que t < tmax faire
   Communication/accès du voisinage de net N_{net} entre les processeurs
   pour chaque élément de la bordure physique de net faire
       Calcul des stencils des conditions limites du réseau net avec N<sub>net</sub>
   fin
   pour chaque node \in net_i faire
       Calcul des stencils des nœuds avec N<sub>net</sub>
   fin
   pour chaque edge \in net_i faire
       Calcul des stencils des arêtes avec N<sub>net</sub>
   fin
   t = t + 1
```

fin

Le modèle SIPSim pour les réseaux

Réseau ≠ Maillage

MAIS on retrouve la même structure de programme parallèle

ET on retrouve les mêmes problématiques :

- partitionnement du réseau
- application de données au réseau
- manipulation des données et des voisinages
- cacher les communications

Application de SIPSim aux réseaux

- Structure de données distribuée (DDS) = réseau distribué
- Application de propriétés distribuées (DPMap) = DPMap_Nodes, DPMap_Edges
- Applicateurs et opérations (AP, OP)
- Interfaces pour écrire les opérations (PI) = voisinage de réseau

イロト 4回ト 4 三ト 4 三ト 4 回ト

Programmation SIPSim

Fonction principale

```
Création du maillage distribué DDS Instanciation des DPMap sur le DDS Initialisations des instances DPmap et des paramètres D des processeurs : \Delta t D definition du pas de temps, commun à tous les processeurs : \Delta t D definition du temps maximal, commun à tous les processeurs : tmax tant que t < tmax faire applicateur(DPMap*, opération1) applicateur(DPMap*, opération2) t=t+\Delta t fin
```

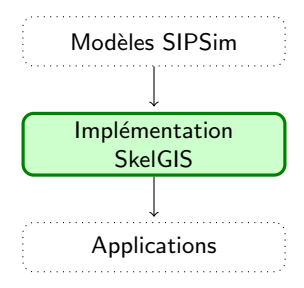
Exemple d'opération

```
itB := itérateur de démarrage de la bordure
physique
enditB := itérateur de fin de la bordure
physique
tant que itB<enditB faire
    Accéder aux valeurs des DPMap à itB
    Accéder les valeurs des DPMap voisines à
    itB.
    Calcul du stencil
    itB++
fin
it= itérateur de démarrage des autres éléments
endit := itérateur de fin des autres éléments
tant que it < endit faire
    Accéder aux valeurs des DPMap à it
    Accéder aux valeurs des DPMap voisines à
    it
    Calcul du stencil
    it++
```

fin

Implémantation : SkelGIS

Implémantation : SkelGIS



SkelGIS

Implémentation du modèle implicite SIPSim

- · librairie C++ "header-only" (orientée template)
- architectures à mémoire distribuée (grappes)
- utilisation de la bibliothèque MPI

SkelGIS implémente 2 solutions :

maillages cartésiens 2D



Helene Coullon, Sébastien Limet - HPCS 2013

Algorithmic skeleton library for scientific simulations : SkelGIS

 réseaux (Réduction du problème aux graphes dirigés acycliques (DAG) et aux maillages a une dimension dans les nœuds et les arêtes)



Helene Coullon, Sébastien Limet - Euro-Par 2014

Implementation and Performance Analysis of SkelGIS for Network Mesh-based Simulations

Implémentation d'un DDS

Le DDS doit fournir

- structure de données distribuée
- partitionnement automatique de la structure
- accès efficace aux voisinages

Optimisations

- recouvrement des communications par les calculs
- · éviter les conditions coûteuses dans le code
- optimiser l'utilisation de la mémoire cache

Le format CSR

Pour un graphe G = (V, E) où $V = \{v_0, ..., v_{n-1}\}$, et pour un sommet $v_i \in V$,

- $N(v_i)$ représente l'ensemble des **voisins** pour le sommet v_i ,
- le degré du sommet v_i est noté $deg(v_i) = |N(v_i)|$,
- le degré cumulatif est représenté par $cdeg(v_i) = \sum_{j=0}^i deg(v_j) = \sum_{j=0}^i |N(v_j)|$

Compressed Sparse Row format

Pour un graphe G, si Sp(G) est la matrice d'adjacence (creuse) de G, alors ce format correspond au format CSR de Sp(G).

Le format CSR

Pour un graphe G = (V, E) où $V = \{v_0, ..., v_{n-1}\}$, et pour un sommet $v_i \in V$,

- $N(v_i)$ représente l'ensemble des **voisins** pour le sommet v_i ,
- le degré du sommet v_i est noté $deg(v_i) = |N(v_i)|$,
- le degré cumulatif est représenté par $cdeg(v_i) = \sum_{j=0}^i deg(v_j) = \sum_{j=0}^i |N(v_j)|$

Compressed Sparse Row format

Pour un graphe G, si Sp(G) est la matrice d'adjacence (creuse) de G, alors ce format correspond au format CSR de Sp(G).





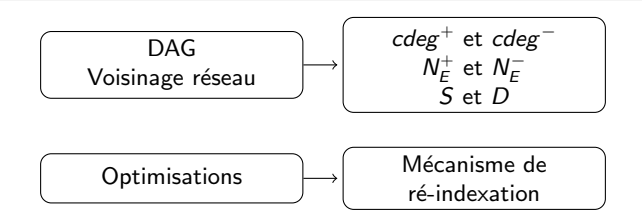
Le format CSR

Pour un graphe G = (V, E) où $V = \{v_0, ..., v_{n-1}\}$, et pour un sommet $v_i \in V$,

- $N(v_i)$ représente l'ensemble des **voisins** pour le sommet v_i ,
- le degré du sommet v_i est noté $deg(v_i) = |N(v_i)|$,
- le degré cumulatif est représenté par $cdeg(v_i) = \sum_{j=0}^i deg(v_j) = \sum_{j=0}^i |N(v_j)|$

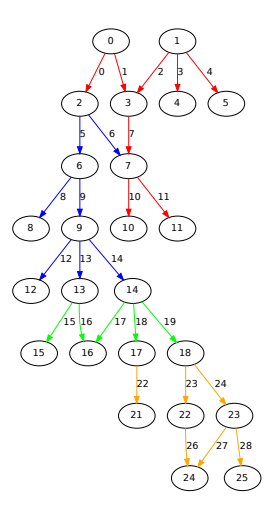
Compressed Sparse Row format

Pour un graphe G, si Sp(G) est la matrice d'adjacence (creuse) de G, alors ce format correspond au format CSR de Sp(G).



◆□▶ ◆□▶ ◆불▶ ◆불▶ 출|= 외약

Partitionnement



Partitionnement automatique du réseau par le DDS :

- partitions équilibrées
- limitation des communications

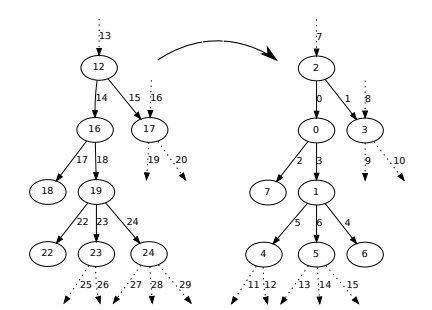
travaux en cours avec Rob Bisseling



Noeuds ne nécessitant pas de comm	Noeuds nécessitant des comm	Feuilles	Racines	Noeuds issus d'autres processeurs

Arêtes locales

Noeuds locaux



- moins de conditions coûteuses
- meilleure utilisation de la mémoire cache

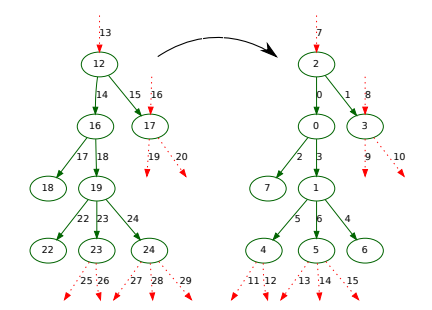
Arêtes ne	Arêtes	Arêtes issues d'autres
nécessitant	: nécessitant des	processeurs
pas de comm	comm	

Noeuds ne nécessitant des reuilles Racines processeurs
pas de comm Noeuds locaux

Noeuds locaux

Arêtes locales

Noeuds 100



- moins de conditions coûteuses
- meilleure utilisation de la mémoire cache

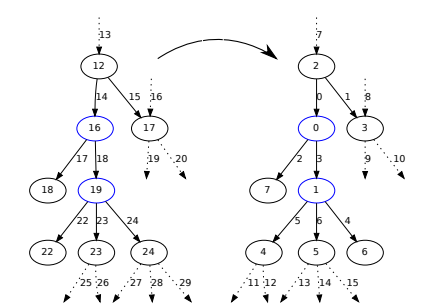
Arêtes ne	Arêtes	Arêtes issues d'autres
nécessitant	nécessitant des	processeurs
pas de comm	comm	

Noeuds ne nécessitant pas de comm

Noeuds nécessitant des comm

Arêtes locales

Noeuds locaux

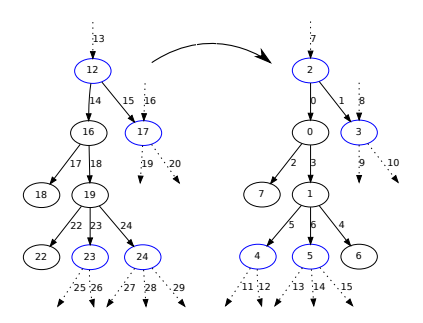


- moins de conditions coûteuses
- meilleure utilisation de la mémoire cache

Arêtes ne	Arêtes	Arêtes issues d'autres:
nécessitant	nécessitant des	processeurs
pas de comm	comm	

				///////
Noeuds ne	Noeuds nécessitant des	Familles	Racines	Noeuds issus d'autres
nécessitant	: nécessitant des	reunies	Nacines.	processeurs
pas de comm	comm			
Noeuds locaux				

Arêtes locales



- moins de conditions coûteuses
- meilleure utilisation de la mémoire cache

Arêtes ne	Arêtes	Arêtes issues d'autres:
nécessitant	nécessitant des	processeurs :
pas de comm	comm	
Arêtes	locales	

					///////
	Noeuds ne nécessitant pas de comm	Noeuds nécessitant des comm	Feuilles	Racines	Noeuds issus d'autres processeurs
Noeuds locaux					

13 7 2 2 2 1 8 29 20 7 1 1 1 2 13 14 15

- moins de conditions coûteuses
- meilleure utilisation de la mémoire cache

Optimisations des conditions

Dans une simulation contenant t itérations de temps et n éléments de maillage à traiter :

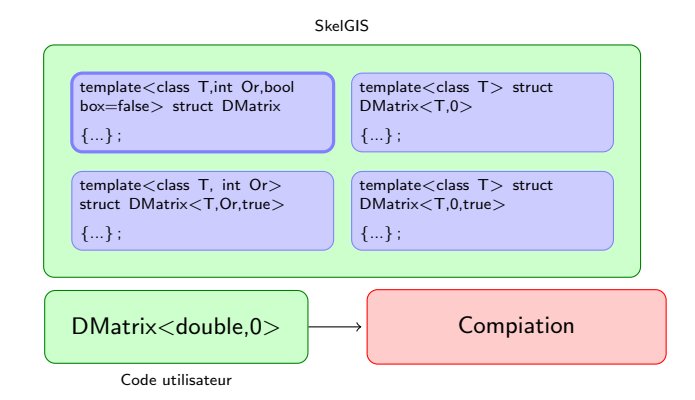
- Certaines conditions du code utilisateur sont exécutées $t \times n$ fois
 - ► Il est difficile d'agir sur ces conditions
 - Nous évitons toutefois les conditions dues aux bordures physiques grâce aux DDS et itérateurs
- Certaines conditions dans SkelGIS sont exécutées t x n fois
 - ► II faut agir sur ces conditions
 - ► Nous évitons les conditions dues au recouvrement grâce aux DDS et itérateurs
 - ▶ D'autres conditions sont associées à des paramètres de l'objet (DDS, DPMap etc.)
 - → Il faut spécifier le code des objets suivant certains paramètres!

Spécialisation partielle de template

Code utilisateur

SkelGIS template < class T, int Or, bool box = false > struct DMatrix { ... }; template < class T, int Or > { ... }; template < class T, int Or > struct DMatrix < T, Or, true > { ... }; DMatrix < T, Or, true > { ... };

Spécialisation partielle de template

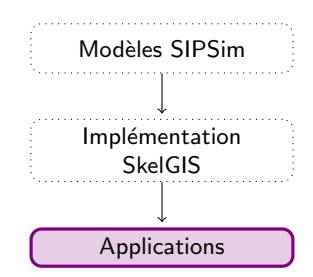


SkelGIS template < class T, int Or, bool template < class T > struct box=false> struct DMatrix DMatrix<T,0> {...}; {...}; template < class T, int Or> template < class T > struct struct DMatrix<T,Or,true> DMatrix<T,0,true> Choix {...}; {...}; spécialisation Compiation DMatrix<double,0> Code utilisateur

Applications et résultats



Multi-scale heterogeneous bulk-synchronous Gaetan Hains



FullSWOF2D ré-écrit en SkelGIS

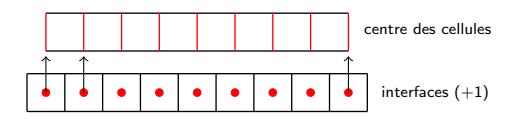
FullSWOF2D

Logiciel de simulation de l'écoulement de l'eau. Développé au *MAPMO* (Université d'Orléans)

Résolution des équations de Saint Venant (Navier-stokes 2D) par la méthode numérique des volumes finis sur un maillage cartésien à deux dimensions.

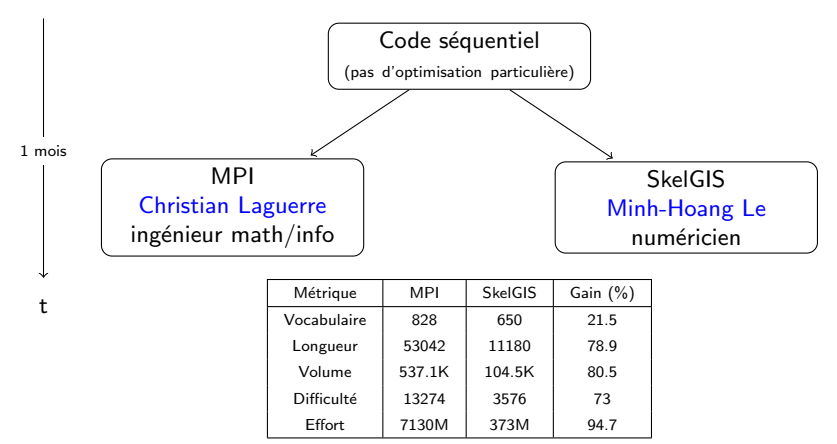
Calculs stencil complexes : flexibilité du modèle mise à l'épreuve

- · intervention de plusieurs données : centre et interfaces
- première et dernière lignes traitées différemment
- Premier et dernier éléments d'une ligne traités différemment
- · Traitement spécifique pour les bordures physiques



Résultats

Projet CEMRACS 2012 FullSWOF-Paral



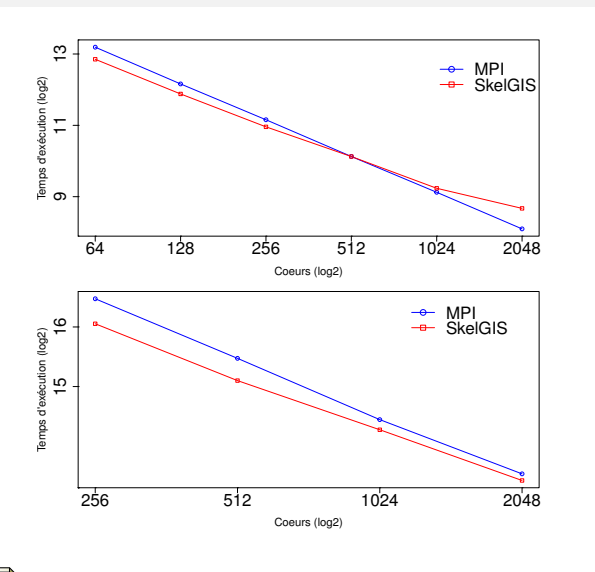


Maurice H. Halstead - Elsevier Science 1977

Elements of Software Science (Operating and programming systems series)



Résultats



maillage $5k \times 5k$ 20k itérations

nœuds "thin" du TGCC-Curie 2× Sandy Bridge (2.7GHz) 64 Go par nœuds 16 cœurs par nœud

maillage $20k \times 20k$ 5k itérations

nœuds "thin" du TGCC-Curie2× Sandy Bridge (2.7GHz) 64 Go par nœuds 16 cœurs par nœud

37 / 44



Helene Coullon, Minh-Hoang Le, Sébastien Limet - ICCS 2013

Parallelization of Shallow-Water Equations with the Algorithmic Skeleton Library SkelGIS

Simulation d'un réseau artériel

Simulation d'écoulement du sang dans un réseau artériel. Développée à l'UPMC Paris 6.

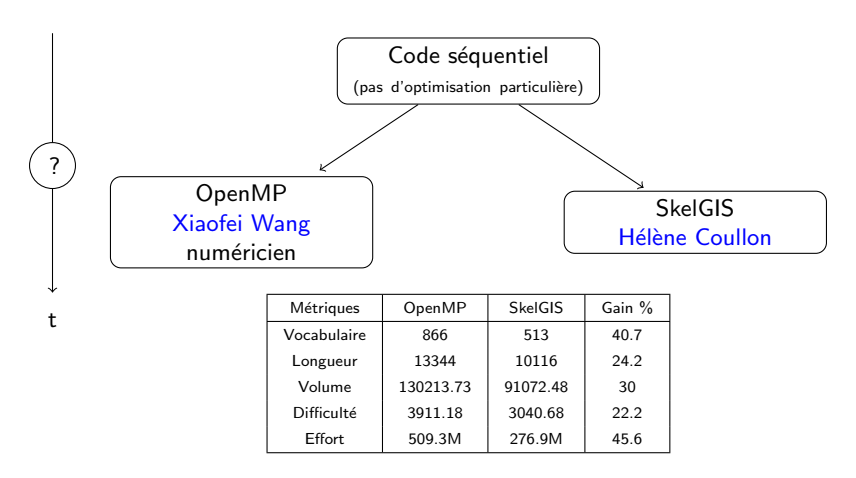


- équations Navier-Stokes 1D, volumes finis
- loi de conservation et de re-distribution entre les quantités entrantes et sortantes

Calculs relativement simples mais sur une structure complexe

Spécialisation du modèle mise à l'épreuve

Résultats

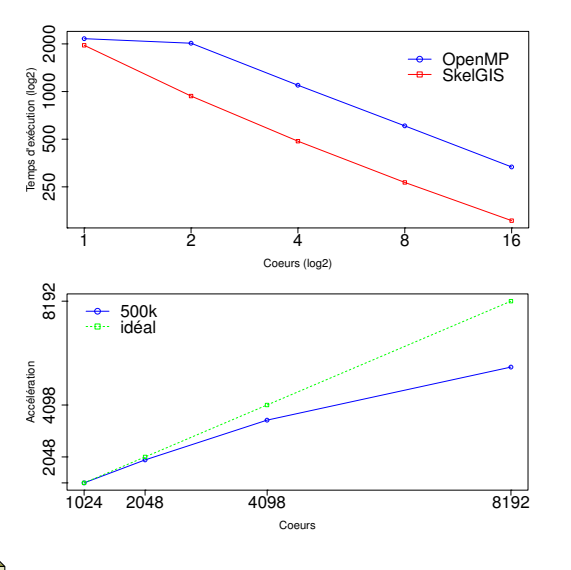




Maurice H. Halstead - Elsevier Science 1977

Elements of Software Science (Operating and programming systems series)

Résultats



1 nœud "thin" du TGCC-Curie

2× Sandy Bridge (2.7GHz) 64 Go par nœuds 16 cœurs par nœud

réseau de 500k nœuds et 500k arêtes

nœuds Blue Gene/Q Juqueen IBM Power PC (1.6GHz) 16Go par nœud 16 cœurs par nœud

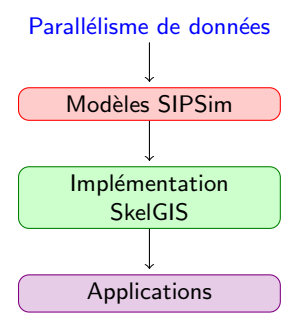
40 / 44



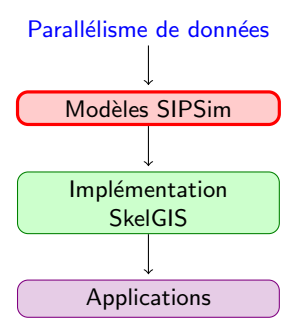
Helene Coullon, Jose-Maria Fullana, Pierre-Yves Lagrée, Sébastien Limet, Xiaofei Wang - ICCS 2014 Blood Flow Arterial Network Simulation with the Implicit Parallelism Library SkelGIS 4 7 3 4 3 5 4

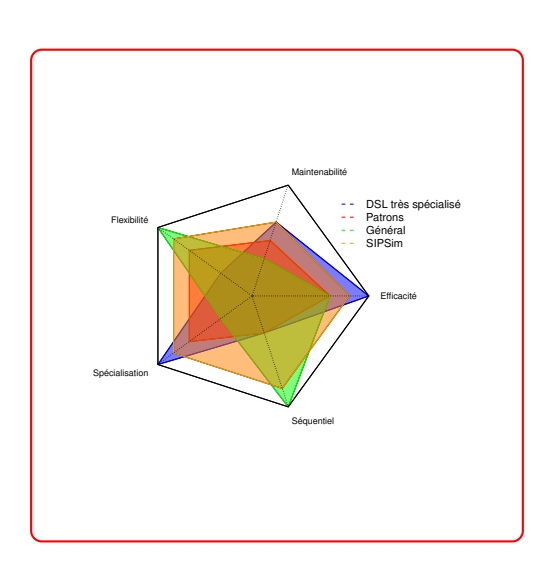
Conclusion et perspectives

Parallélisme implicite pour les simulations numériques

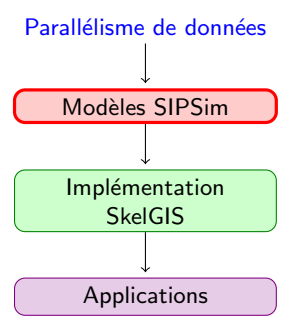


Parallélisme implicite pour les simulations numériques





Parallélisme implicite pour les simulations numériques

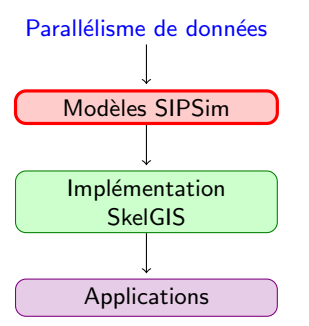


Cinq concepts SIPSim:

- Structure de données distribuée
- Application de propriétés distribuées
- Applicateurs et opérations
- Interfaces pour écrire les opérations
 - ▶ itérateurs
 - accesseurs aux données
 - acesseurs aux données voisines

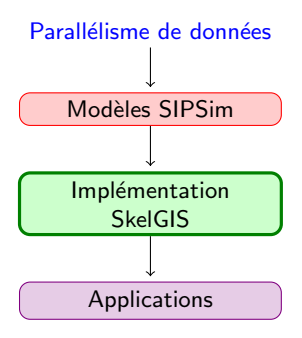
42 / 44

Parallélisme implicite pour les simulations numériques



Modèle applicable aux réseaux

Parallélisme implicite pour les simulations numériques



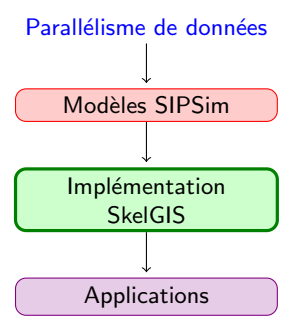
Bibliothèque C++ orientée template

- maillages cartésiens 2D
- réseaux de type DAG et contenant des maillages 1D

Implémentation pour les réseaux :

- format CSR modifié
- mécanisme de ré-indexation
- optimisations de conditions

Parallélisme implicite pour les simulations numériques



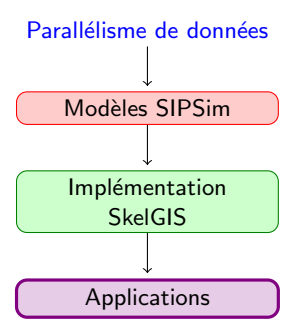


Helene Coullon, Sébastien Limet - Euro-Par 2014 Implementation and Performance Analysis of SkelGIS for Network Mesh-based Simulations



Helene Coullon, Sébastien Limet - HPCS 2013 Algorithmic skeleton library for scientific simulations : SkelGIS

Parallélisme implicite pour les simulations numériques

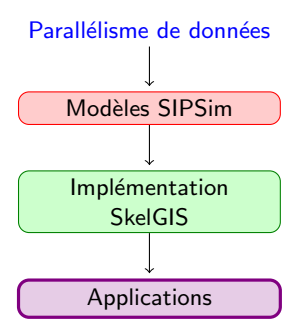


Cas réels et complexes

- FullSWOF SkelGIS
 - comparaison MPI et SkelGIS en effort de programmation
 - ► comparaison MPI et SkelGIS en performances
- simulation artérielle
 - comparaison OpenMP et SkelGIS en effort de programmation
 - performances de SkelGIS

Expériences sur : flexibilité, spécialisation, séquentiel (effort de programmation) et efficacité du programme obtenu.

Parallélisme implicite pour les simulations numériques





Helene Coullon, Jose-Maria Fullana, Pierre-Yves Lagrée, Sébastien Limet, Xiaofei Wang - ICCS 2014 Blood Flow Arterial Network Simulation with the Implicit Parallelism Library SkelGIS



Helene Coullon, Minh-Hoang Le, Sébastien Limet - ICCS 2013

Parallelization of Shallow-Water Equations with the Algorithmic Skeleton Library SkelGIS



Stéphane Cordier, Helene Coullon, Olivier Delestre, Christian Laguerre, Minh-Hoang Le, Daniel Pierre, Georges Sadaka - ESAIM : Proceedings CEMRACS 2012

FullSWOF Paral: Comparison of two parallelization strategies (MPI and SKELGIS) on a software designed for hydrology applications



Morgan Abily, Helene Coullon, Florian Cordier, Olivier Delestre - Springer book "Advances in Hydroinformatics - SimHydro 2014" Comparison and validation of two parallelization approaches of FullSWOF-2D software on real cases

Perspectives

Évolution du modèle SIPSim

Généralisation aux simulations réseaux et multi-physiques

- composition de DDS
- composition d'opérations
- définition avancée d'un voisinage

Autres maillages

- Maillages non-structurés (OP2, Liszt)
- Maillages adaptatifs

Implémentation du modèle

- aller vers l'implémentation d'un langage SIPSim (DSL)
- autres modèles d'exécution (mémoire partagée, GPGPU)

Merci de votre attention

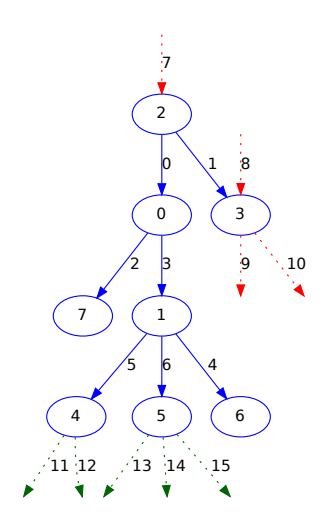






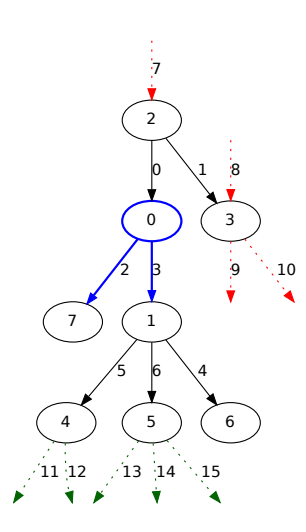


Modification du format CSR



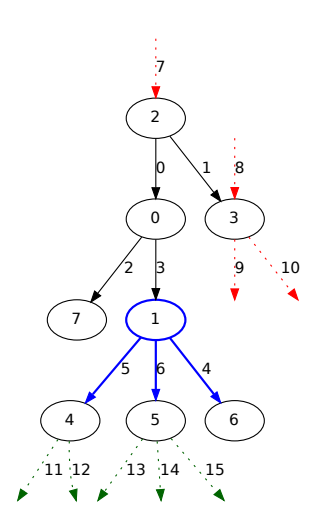


Modification du format CSR



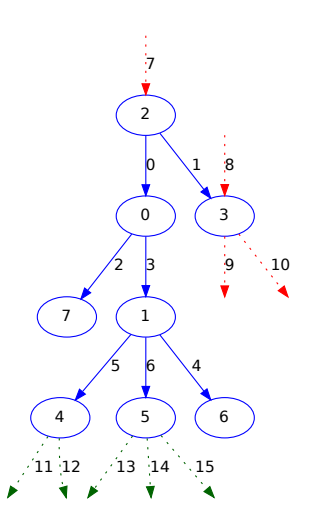
$$cdeg^{+} = [0, 2, ...],$$
 $N_{E}^{+} = [2, 3, ...],$

Modification du format CSR



$$cdeg^+ = [0, 2, 5, ...],$$
 $N_E^+ = [2, 3, 5, 6, 4, ...],$

Modification du format CSR



$$\begin{aligned} &cdeg^{+} = [0,2,5,7,9,11,14,14,14], \\ &cdeg^{-} = [0,1,2,3,5,6,7,8,9], \\ &N_{E}^{+} = \\ &[2,3,5,6,4,0,1,9,10,11,12,13,14,15], \\ &N_{E}^{-} = [0,3,7,1,8,5,6,4,2], \\ &S = [2,2,0,0,1,1,1], \\ &D = [0,3,7,1,6,4,5] \end{aligned}$$

Coût du DDAG

Tableau	Taille
$cdeg^+$	$ V_i $
cdeg ⁻	$ V_i $
5	$ E_i $
D	$ E_i $
$N_E^+ + N_E^-$	$\sum_{j=0}^{ V_i } deg(v_j)$
cdeg ^{tor}	p
cdeg ^{tos}	р
N_E^{tor}	cdeg ^{tor} [p]
\mathcal{N}_V^{tor}	cdeg ^{tor} [p]
\mathcal{N}_E^{tos}	cdeg ^{tos} [p]
\mathcal{N}_V^{tos}	cdeg ^{tos} [p]

La taille totale représentée par cette structure de donnée, pour chaque processeur, est donc

$$Taille = L + P + Conn + Comm, (1)$$

avec

$$L=2 imes |V_i|+2 imes |E_i|,$$
 $P=2 imes p,$ $Conn=\sum_{i=0}^{|V_i|}deg(v_j),$

$$Comm = 2 \times cdeg^{tor}[p] + 2 \times cdeg^{tos}[p].$$

Partitionnement

Implémentation actuelle

Méthode par regroupement d'arêtes soeurs

- résultats satisfaisants sur le cas de test étudié
- ne résoud pas réellement le problème de partitionnement des réseaux
- se limite aux graphes acycliques

Méthodes en cours d'étude

Utilisation du partitionneur Mondriaan

- Méthode à partitionnement unique (en cours)
- Méthode à partitionnement double (en cours)

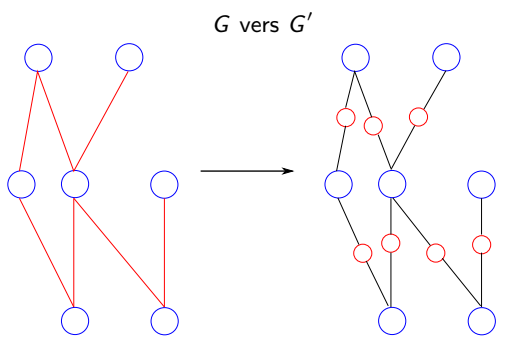
Formulation du problème de partitionnement

- Calculs différents effectués sur les nœuds et les arêtes
- Calcul contenant plusieurs phases

Si T1 et T2 correspondent aux arêtes et aux nœuds ou vice versa

- Communication des T1 calculés à t
- \bigcirc Calcul des T2 à t + 1
- 3 Communication des T2 calculés à t+1
- **4** Calcul des T1 à t+1

Transformation du réseau



Si V^r est l'ensemble des sommets rouges, V^b l'ensemble des sommets bleus de G':

$$\max_{i} \omega(V_{i}^{r}) \leq (1+\epsilon) \frac{\omega(V^{r})}{p}, \ \epsilon > 0$$

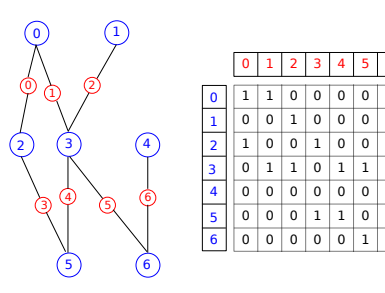
$$\max_i \omega(V_i^b) \leq (1+\epsilon) \frac{\omega(V^b)}{p}, \ \epsilon > 0$$

◆□▶ ◆周▶ ◆三▶ ◆三▶ 至1日 めの○

Méthode à partitionnement simple

- L'étape de communication des sommets bleus vers les sommets rouges est exprimée comme un problème de partitionnement d'hypergraphe en 1D, ce qui permet de distribuer les sommets rouges.
- ② Une heuristique est appliquée pour distribuer les sommets bleus, en prenant en compte la distribution des sommets rouges.

1. Distribution des sommets rouges



Utilisation du partitionneur Mondriann pour le partitionnement "1D row-net"

$$\max_i \omega(V_i^r) \leq (1+\epsilon) \frac{\omega(V^r)}{p}, \ \epsilon > 0$$

← Cette étape va essayer de minimiser les communications des sommets bleus vers les sommets rouges.

←□ → ←률 → ← 분 → 분 |= ♥ ♀ ○

2. Distribution des sommets bleus

L'heuristique choisit $P(v) = P_i$ tel que $deg(v, P_i)$ est maximal et tel que

$$\max_i \omega(V_i^b) \leq (1+\epsilon) rac{\omega(V^b)}{p}, \ \epsilon > 0$$

Cas d'égalité : si $\exists i, j$ tels que $deg(v, P_i) = deg(v, P_j)$, $P(v) = P_i$ si $\omega(V_i^b) < \omega(V_j^b)$

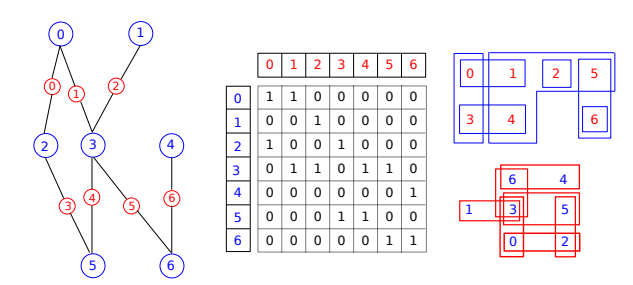
← Cette étape va essayer de minimiser les communications des sommets rouges vers les sommets bleus.

- 4 □ > 4 個 > 4 差 > 4 差 > 差 1 至 9 Q (~

Méthode à partitionnement double

- L'étape de communication des sommets bleus vers les sommets rouges est exprimée comme un problème de partitionnement d'hypergraphe en 1D, ce qui permet de distribuer les sommets rouges.
- L'étape de communication des sommets rouges vers les sommets bleus est exprimée comme un problème de partitionnement d'hypergraphe en 1D, ce qui permet de distribuer les sommets bleus.
- ① Un problème de permutation est résolu pour ré-organiser les deux distributions.

1. and 2. Distribution des sommets rouges et bleus



Utilisation du partitionneur Mondriann pour le partitionnement "1D row-net" et "1D column-net"

$$\max_{i} \omega(V_{i}^{r}) \leq (1+\epsilon) \frac{\omega(V^{r})}{p}, \ \epsilon > 0$$

$$\max_i \omega(V_i^b) \leq (1+\epsilon) \frac{\omega(V^b)}{p}, \ \epsilon > 0$$

3. Petit problème de matching

Permutation des processeurs attribués dans chaque partitionnement de façon optimale

W est une matrice de taille $p \times p$ calculée à partir de la matrice A:

- ullet Si un sommet bleu i (ligne de A) est lié à un sommet rouge j (colonne de A), on a $a_{i,j}=1$
- ullet $\Phi(i)$ représente le processeur attribué au sommet bleu i
- \bullet $\Psi(j)$ représente le processeur attribué au sommet rouge j

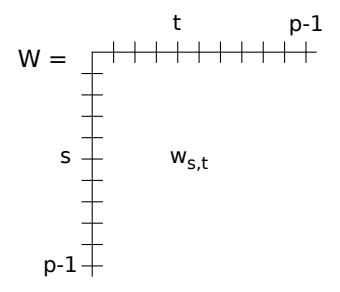
$$w_{s,t} = \sum_{i: \Phi(i)=s} \delta_i(t)$$
 (2)

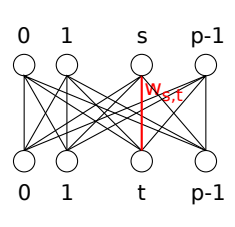
$$\delta_i(t) = \begin{cases} 1 & \text{if } \exists j : a_{i,j} = 1 \land \Psi(j) = t \\ 0, & \text{otherwise.} \end{cases}$$
 (3)

 \hookrightarrow le nombre de communication du processeur s au processeur t pour les communications des sommets bleus vers rouges

4 D > 4 A > 4 B > 4 B > 5 B B 9 Q C

3. Petit problème de matching





- Calcul de la matrice W' de la même façon, en utilisant A^T
- ullet Résolution du problème de matching maximal sur $\overline{W} = W + {W'}^T$
- Algorithme de Hongrois $O(p^4)$

◆□▶ ◆□▶ ◆ 분 ▶ ◆ 분 | ● 의 ♥ ○ ○

Métriques de Halstead

Symbole	Mesure	
N_1	Nombre total d'opérateurs	
N ₂	Nombre total d'opérandes	
η_1	Nombre d'opérateurs distincts	
η_2	Nombre d'opérandes distincts	

Symbole	Valeur	Métrique
η	$\eta_1 + \eta_2$	Vocabulaire
N	$N_1 + N_2$	Longueur
V	$N imes \log_2 \eta$	Volume
D	$\frac{\eta_1}{2} imes \frac{N_2}{\eta_2}$	Difficulté
E	$D \times V$	Effort

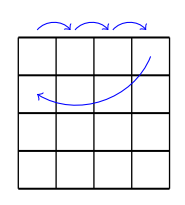
SkelGIS pour les maillages cartésiens à deux dimensions

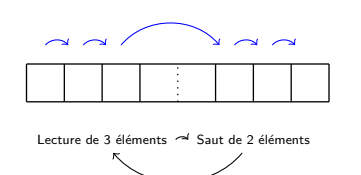
Fusion DDS et DPmap

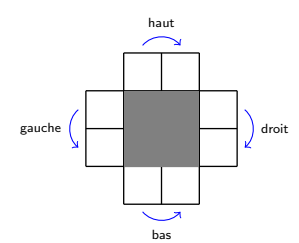
- Structure de données légère
- Simplicité d'utilisation avec un concept en moins

Itérateurs

Standard / ligne / saut régulier / bordure physique 4 côtés



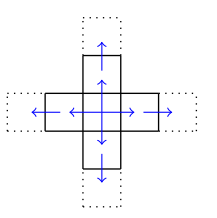


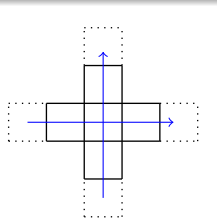


SkelGIS pour les maillages cartésiens à deux dimensions

Accès aux voisinages

- accès directionnel
- · accès horizontal et vertical
- · accès à toutes les valeurs voisines





Exemple de code : l'équation de la chaleur

```
#include "skelgis/skelgis.hpp"
using namespace skelgis;
int main(int argc, char** argv)
  INITSKELGIS:
  HEADER head:
  head.x=0; head.y=0;
  head.width=100; head.height=100;
  head.spacing=1:head.nodata=-9999:
  DMatrix<double,1> m(head,0);
  m. setGlobalMiddleValue (1);
  DMatrix<double,1> m2(head,0);
  for (int i=0; i<100; i++)
      ApplyUnary<double,1,double,1>::apply(laplacien,m,m2);
      DMatrix<double,1> m3(m);
      m = m2:
      m2 = m3:
  ENDSKELGIS:
```

Exemple de code : l'équation de la chaleur

```
BEGINApplyUnary(laplacien ,m, double ,1 ,m2, double ,1)

{
    double a = 0.05;
    iterator <double ,1 > it = m. begin ();
    iterator <double ,1 > it End = m. end ();
    for (it; it < itEnd; ++it)
    {
        double val = m[it];
        double res = (1-4*a)*val+a*(m. getRight(it) + m. getLeft(it)+
        m. getUp(it) + m. getDown(it));
        m2[it] = res;
    }
END(laplacien)
```